

УДК 532.516:536.423.1

© 1992 г. А. П. КУРЯЧИЙ

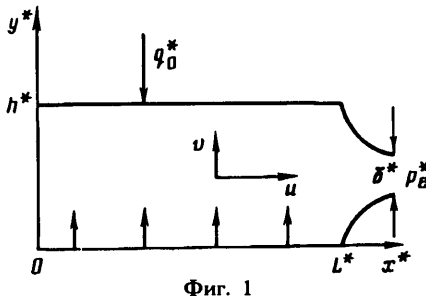
ТЕПЛОМАССОПЕРЕНОС В ПЛОСКОМ КАНАЛЕ
СИСТЕМЫ ТЕПЛОВОЙ ЗАЩИТЫ
РАДИАЦИОННО-ИСПАРИТЕЛЬНОГО ТИПА
ПРИ ТЕЧЕНИИ ПАРА С МАЛЫМИ СКОРОСТЯМИ

Получено автомодельное решение, описывающее процессы тепломассопереноса при радиационно-кондуктивном теплообмене между стенками плоского канала и испарении с одной из стенок. Предполагается, что среда является оптически прозрачной, а геометрические параметры канала и значения теплового потока и давления пара таковы, что характерное число Маха течения M_0 удовлетворяет условию $M_0 \ll 1$.

Изучению процессов тепломассопереноса в каналах при различных граничных условиях на их стенах посвящено большое количество работ [1, 2], что объясняется широким практическим применением рассматриваемых процессов. В частности, исследование теплопроводности и массообмена при наличии испарения на одной из стенок канала, обусловленного подводом тепла путем излучения и теплопроводности от другой более нагретой стенки, представляет интерес для задач радиационной сушки [3], а также разработки систем тепловой защиты [4].

1. Постановка задачи. В настоящей работе рассматривается модель системы радиационно-испарительной тепловой защиты плоской поверхности от воздействия внешнего теплового потока. Схема рассматриваемой модели представлена на фиг. 1. Предполагается, что с защищаемой поверхности возможно испарение хладагента, который может содержаться, например, в слое влагоудерживающего материала, находящегося на защищаемой поверхности. Ось x^* прямоугольной системы координат располагается на поверхности испарения, ось y^* — перпендикулярно к ней. На расстоянии h^* от поверхности испарения параллельно ей находится термостойкий экран, на который поступает внешний тепловой поток q_0^* , частично сбрасываемый наружу излучением внешней поверхности экрана. Поверхность испарения и экран образуют плоский канал длиной $2L^*$, который с обоих концов заканчивается участком сужения, имеющим выходное отверстие шириной δ^* . Через это дренажное отверстие происходит истечение пара в окружающую среду с давлением p_e^* . Здесь и ниже верхним индексом звездочка обозначаются размерные величины, нижним индексом ноль — характерные значения размерных величин.

При выполнении условия $h^*/L^* \ll 1$ течение в плоском канале с точностью до порядка $(h^*/L^*)^2$ описывается системой уравнений Прандтля [5], в которой градиент давления не является заданной функцией, а определяется в процессе решения. Для получения оценок характерных значений величин в рассматриваемой задаче характерная температура T_0^* определяется из равенства $q_0^* = \sigma^* T_0^{*4}$, где σ^* — постоянная Стефана — Больцмана. Определяя плотность пара соотношением $\rho_0^* = p_0^*/(R^* T_0^*)$, где p_0^* — характерное значение давления в канале, R^* — газовая постоянная пара, для скорости испарения имеем оценку $\rho_0^* v_0^* = q_0^*/r_0^*$, где r_0^* — удельная теплота испарения при 0 К. Из уравнения неразрывности получим оценку для продольной скорости течения пара $u_0^* =$



Фиг. 1

$= v_0^* L^* / h^*$, откуда для характерного значения числа Маха течения имеем выражение

$$M_0 = \frac{q_0^* L^*}{r_0^* p_0^* h^*} \sqrt{\frac{R^* T_0^*}{\gamma}} \quad (1.1)$$

В приближении Прандтля давление пара поперек канала постоянно, а его отличие от давления насыщения при температуре поверхности испарения T_w^* можно оценить по формуле Герца — Кнудсена $\rho_0^* v_0^* \sim (p_s^* - p_0^*) / (2\pi R^* T_w^*)^{1/2}$, откуда $(p_s^* - p_0^*) / p_0^* \sim M_0 h^* / L^*$, где p_s^* — давление насыщения. Поскольку $M_0 < 1$, а $h^* / L^* \ll 1$, то давление пара в канале с указанной точностью можно считать равным давлению насыщения при T_w^* .

Перепад давления Δp_L^* на участке испарения $0 \leq x^* \leq L^*$ складывается из инерционной и вязкой составляющих [6]

$$\Delta p_L^* = \Delta p_i^* + \Delta p_v^*, \quad \Delta p_i^* \sim \rho_0^* u_0^{*2}, \quad \Delta p_v^* = 5\Delta p_i^* Re^{-1}$$

Таким образом, при не очень малых значениях числа Рейнольдса $Re = \rho_0^* v_0^* h_0^* / \mu_0^*$ для перепада давления вдоль канала имеем оценку $\Delta p_L^* / p_0^* \sim \gamma M_0^2$, где $\gamma = c_p^* / c_v^*$ — показатель адиабаты. Следовательно, безразмерное давление в канале (отнесенное к p_0^*) можно представить в виде $p(x) = 1 + \gamma M_0^2 P(x)$, где $x = x^* / L^*$. В этом случае в обезразмеренном уравнении импульса будет присутствовать член $P' \equiv dP/dx$, в уравнении энергий члены вязкой диссипации и работы сил давления войдут с коэффициентом $(\gamma - 1) M_0^2$, безразмерная плотность будет иметь вид $\rho = (1 + \gamma M_0^2 P) / T$ (для пара используется уравнение состояния совершенного газа).

Как следует из (1.1), величина числа Маха определяется отношением ширины канала к его длине, а также значениями теплового потока и давления пара. Характерное значение давления в канале при докритическом режиме истечения пара через дренажное отверстие по порядку величины равно внешнему давлению p_e^* . При достижении критического режима истечения (при больших значениях q_0^* или малых p_e^*) давление в канале не зависит от p_e^* и оценивается на основе формулы для адиабатического истечения из отверстия [7] $\rho_0^* v^* L^* = q_0^* L^* / r_0^* \sim \delta^* p_0^* (R^* T_0^*)^{-1/2}$, откуда $M_0 h^* / \delta^* \sim 1$.

Таким образом, при малых значениях p_e^* , когда реализуется критический режим истечения, давление пара в канале определяется отношением площади дренажного отверстия к площади испарения, а характерное число Маха — отношением ширины отверстия к ширине канала. В дальнейшем предполагается, что значения h^* , L^* , q_0^* , p_0^* таковы, что $M_0^2 \ll 1$. Например, при $q_0^* \sim 10^4 \text{ Вт}/\text{м}^2$, $T_0^* \sim 700 \text{ К}$, $r_0^* = 3.2 \cdot 10^6 \text{ Дж}/\text{кг}$, $h^* / L^* \sim 10^{-2}$ число $M_0 < 0.1$ при $p_0^* > 10^3 \text{ Па}$. Отметим также, что при ширине канала $h^* \sim 10^{-2} \text{ м}$ имеем $Re \sim 1$.

При сделанном предположении в уравнениях Прандтля можно пренебречь членами порядка M_0^2 , температуры поверхности испарения и экрана не будут

зависеть от x^* при равномерном тепловом потоке q_0^* . В этом случае продольная скорость течения и градиент давления являются линейными функциями x^* [6], и безразмерные переменные будут иметь следующий вид:

$$u(x, y) = xU(y), \quad P'(x) = xP''(y), \quad T(x, y) = T(y) \quad (1.2)$$

$$V(x, y) \equiv \rho v = V(y), \quad y = \frac{y^*}{h^*}, \quad x = \frac{x^*}{L^*}$$

Подставляя (1.2) в уравнения Прандтля, получим следующую краевую задачу для системы обыкновенных дифференциальных уравнений:

$$\frac{U^2}{T} + V \frac{dU}{dy} + P'' = \frac{1}{\text{Re}} \frac{d}{dy} \left(\mu \frac{dU}{dy} \right) \quad (1.3)$$

$$V \frac{dT}{dy} = \frac{1}{\text{Re} \text{Pr}} \frac{d}{dy} \left(\mu \frac{dT}{dy} \right), \quad V = \int_y^1 \frac{U}{T} dy$$

$$y = 0: \quad U = 0, \quad r_w V_w = \frac{\mu_w}{\text{Re} \text{Pr} \text{Ko}} \frac{dT_w}{dy} + \epsilon (T_e^4 - T_w^4) \quad (1.4)$$

$$y = 1: \quad U = 0, \quad \frac{\mu_e}{\text{Re} \text{Pr} \text{Ko}} \frac{dT_e}{dy} + \epsilon (T_e^4 - T_w^4) = 1 - \epsilon_0 T_e^4$$

$$\mu(T) = T^{3/2} \frac{1+A}{T+A}, \quad A = \frac{673}{T_0^*}, \quad r(T) = 1 - (c_l - 1) \frac{T}{\text{Ko}} \quad (1.5)$$

$$\text{Re} = \frac{q_0^* h^*}{\mu^* r_0^*}, \quad \text{Pr} = \frac{c_p^* \mu_0^*}{\lambda_0^*}, \quad \text{Ko} = \frac{r_0^*}{c_p^* T_0^*}, \quad \epsilon = \frac{\epsilon_w \epsilon_e}{\epsilon_w + \epsilon_e - \epsilon_w \epsilon_e}$$

Отметим, что в уравнении энергии не учитывается радиационный член, т. е. среда предполагается оптически прозрачной, вследствие чего для результирующего радиационного потока, входящего в граничные условия (1.4), используется формула для лучистого теплообмена между изотермическими диффузно-серыми поверхностями [8], в которую входит приведенный коэффициент поглощения $\epsilon = \epsilon_w \epsilon_e / (\epsilon_w + \epsilon_e - \epsilon_w \epsilon_e)$, где ϵ_e, ϵ_w — коэффициенты поглощения нижней поверхности экрана и поверхности испарения соответственно. В четвертое условие (1.4) входит ϵ_0 — коэффициент поглощения внешней поверхности экрана, который, вообще говоря, может отличаться от ϵ_e . Экран предполагается термически тонким. Для вязкости водяного пара используется формула Сазерленда [9], в выражение для удельной теплоты испарения (1.5) входит величина $c_l = c^*/c_p^*$ — отношение теплоемкостей жидкости и пара.

Краевая задача (1.3)–(1.5) не является полностью определенной, так как в первое уравнение (1.3) входит неизвестная величина P'' . Она определяется из условия совпадения расхода пара в сечении $x=1$ с расходом через дренажное отверстие. Это условие может быть получено на основе использования формул для адиабатического истечения газа из отверстия в среду с заданным давлением, для чего необходимо провести осреднение параметров течения в сечении $x=1$.

Осреднение осуществляется при условиях сохранения импульса и энергии в рассматриваемом сечении [7]. В каждой точке разностной сетки по y по расчетным профилям $U(y)$ и $T(y)$ находится число Маха $M(y) = M_0 U(y) / \sqrt{T(y)}$, коэффициент скорости $\lambda(y) = M [(y+1)/(2+(y-1)M^2)]^{1/2}$ и температура торможения $T_t(y) = T(y)/\tau(\lambda)$, где $\tau(\lambda) = 1 - \lambda^2(y-1)/(y+1)$. Из условия сохранения при осреднении энергии потока определяется средняя температура торможения в сечении

$$\langle T_i \rangle = \int_0^1 Y(\lambda) \sqrt{T_i} dy \left[\int_0^1 \frac{Y(\lambda)}{\sqrt{T_i}} dy \right]^{-1}, \quad Y(\lambda) = \left(\frac{\gamma + 1}{2} \right)^{1/(\gamma-1)} \frac{\lambda}{\tau(\lambda)}$$

Отсюда находится среднее значение критической скорости звука $\langle a_{cr}^* \rangle = [2\gamma R^* T_0^* \langle T_i \rangle / (\gamma + 1)]^{1/2}$.

Средний коэффициент скорости в сечении определяется из условия сохранения импульса

$$\frac{\gamma + 1}{2\gamma} J^* \langle a_{cr}^* \rangle z(\langle \lambda \rangle) = h^* \int_0^1 \frac{p^*}{j(\lambda)} dy, \quad z(\lambda) = \lambda + \frac{1}{\lambda}, \quad j(\lambda) = \frac{\tau(\lambda)}{1 + \lambda^2}$$

где $J^* = L^* \int_0^1 (\rho^* v^*)_w dx = q_0^* L^* V_w / r_0^*$ — суммарный расход в сечении $x = 1$. Образуя приведенное выражение для импульса потока с учетом того, что $p^* = p_0^*$ не зависит от y , получим уравнение для определения среднего коэффициента скорости

$$\langle \lambda \rangle + \frac{1}{\langle \lambda \rangle} = \sqrt{\frac{2}{\gamma + 1}} \frac{1}{M_0 V_w \langle T_i \rangle^{1/2}} \int_0^1 \frac{dy}{j(\lambda)}$$

Из двух корней этого уравнения берется $\langle \lambda \rangle < 1$.

Среднее значение полного давления $\langle p_i \rangle = 1/\pi(\langle \lambda \rangle)$, где $\pi(\lambda) = \tau(\lambda)^{\gamma/(\gamma-1)}$.

Течение пара на участке сужения канала предполагается изэнтропическим, поэтому для коэффициента скорости в сечении дренажного отверстия справедливо выражение, полученное из условия сохранения полного давления

$$\lambda_e = \left(\frac{\gamma + 1}{\gamma - 1} \right)^{1/2} \{1 - [\varepsilon_p \pi(\langle \lambda \rangle)]^{(\gamma-1)/\gamma}\}^{1/2}, \quad \varepsilon_p = \frac{p_e^*}{p_0^*}$$

Расход пара через дренажное отверстие определяется выражением [7]

$$J^* = \frac{\delta^* p_0^*}{(R^* T_0^*)^{1/2}} \frac{N}{\pi(\langle \lambda \rangle)} \frac{Q(\lambda_e)}{\langle T_i \rangle^{1/2}}, \quad N = \sqrt{\gamma} \left(\frac{2}{\gamma + 1} \right)^{(\gamma+1)/2(\gamma-1)} \quad (1.6)$$

где $Q(\lambda_e)$ — функция расхода

$$Q(\lambda_e) = \begin{cases} \left(\frac{\gamma + 1}{2} \right)^{1/(\gamma-1)} \lambda_e \left(1 - \frac{\gamma - 1}{\gamma + 1} \lambda_e^2 \right)^{1/(\gamma-1)}, & \varepsilon_p \geq \varepsilon_{cr} \\ 1, \quad \varepsilon \leq \varepsilon_{cr} = \frac{1}{\pi(\langle \lambda \rangle)} \left(\frac{2}{\gamma + 1} \right)^{\gamma/(\gamma-1)} & \end{cases}$$

Выражение (1.6), представленное в безразмерном виде, и является дополнительным условием, служащим для определения величины P''

$$V_w - \frac{\delta^*}{h^*} \frac{1}{M_0} \frac{N}{\pi(\langle \lambda \rangle)} \frac{Q(\lambda_e)}{(\gamma \langle T_i \rangle)^{1/2}} = 0 \quad (1.7)$$

2. Метод решения. При решении задачи (1.3)–(1.5), (1.7) можно рассматривать левую часть уравнения (1.7) в качестве функции величины P'' и искать ее ноль, например, методом секущих. В этом случае при каждом значении P'' , полученном на итерациях, решается краевая задача (1.3)–(1.5). Однако при таком методе нужно достаточно точно задавать начальное приближение для P'' , поскольку в процессе итераций при докритических режимах истечения из дренажного отверстия можно выйти за область определения функции (1.7), которая, очевидно, определена при $p_0^* \geq p_e^*$, а ноль ее расположен при $p_0^* > p_e^*$. По этой причине для решения рассматриваемой задачи используется более сложный алгоритм, который тем не менее обеспечивает сходимость всей процедуры решения в широком диапазоне параметров задачи.

В этом методе левая часть уравнения (1.7) рассматривается как функция давления p_0^* . При заданных параметрах L^* , h^* , δ^* , q_0^* определяется значение $p_0^* = q_0^* L^* \sqrt{R^* T_0^* / (N \delta^* r_0^*)}$ — характерное значение давления в канале при сверхкритическом истечении. При выполнении условия

$p_0^* > p_e^*$ ($\frac{2}{\gamma+1}$) $^{\gamma/\gamma-1}$ в качестве начального приближения берется $p_0^* = p_e^*$, в противном случае $-p_0^* = p_e^*$. Как указывалось ранее, давление пара в канале можно считать равным давлению насыщения при температуре поверхности испарения T_w . Используется формула Филоненко для давления насыщенного водяного пара [10]

$$p_s^*(T^*) = 133 \exp \left(18,681 - \frac{4105}{T^* - 35} \right) \quad (2.1)$$

По выбранному в качестве начального приближения значению p_0^* на основе формулы (2.1) определяется температура поверхности испарения T_w . Затем решается краевая задача (1.3)–(1.5), в которой второе граничное условие (1.4) при $y=0$ заменяется на условие $T(0) = T_w$, где T_w определена выше. Методом секущих ищется значение P'' , при котором удовлетворяется замененное граничное условие (1.4). При каждом фиксированном значении P'' решение нелинейной краевой задачи (1.3)–(1.5) осуществляется методом двухточечной прогонки второго порядка точности [11] с использованием простых итераций.

Вся указанная процедура повторяется для второго значения T_w (или p_0^*), которое задается большим или меньшим первого в зависимости от того, положительно или отрицательно значение функции (1.7). Далее методом секущих находится значение температуры поверхности испарения T_w и связанного с ней выражением (2.1) давления в канале p_0 , при которых выполняется условие (1.7). Причем если на некоторой итерации получается значение $p_0^* < p_e^*$ (что происходит при ε_p , близком к единице), то вместо этого значения берется $p_0^* = p_e^*$ (и соответствующее ему T_w), а следующее приближение для p_0 определяется по значениям функции (1.7), полученным на предыдущей итерации и для $p_0^* = p_e^*$.

Как будет показано ниже, величина P'' достаточно сильно зависит от основных модельных критериев задачи Re и ε . Для сходимости описанной выше процедуры в качестве начального приближения достаточно задать значение $P'' = -4/Re$.

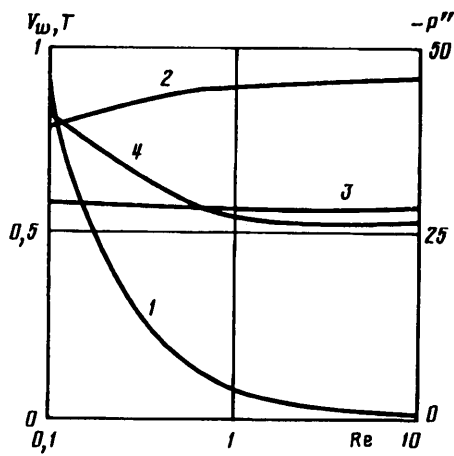
3. Результаты расчетов. Решение рассматриваемой задачи помимо критериев подобия, приведенных в (1.5), зависит также, как следует из (1.1) и (1.7), от параметра h^*/L^* . Отметим, что параметр h^*/L^* при сделанном допущении $M_0^2 << 1$ очень слабо влияет на решение (от него в некоторой степени зависят результаты осреднения, так как здесь используется число M_0). Из указанных критериев подобия число Прандтля считалось постоянным, равным единице. Число Коссовича Ко [10] меняется при изменении теплового потока, но весьма слабо, поэтому в расчетах оно задавалось постоянным, равным 2,94 ($r_0 = 3,2 \cdot 10^6$ Дж/кг, $c_p = 1,9 \cdot 10^3$ Дж/(кг К), $q_0^* = 5 \cdot 10^3$ Вт/м²).

На фиг. 2 представлены зависимости от числа Рейнольдса величины P'' (кривая 1), температуры экрана T_e (кривая 2), температуры поверхности испарения T_w (кривая 3) и скорости испарения V_w (кривая 4) при постоянных значениях $h^*/L^* = 10^{-2}$, $\delta^*/L^* = 10^{-4}$, $\gamma = 1,3$. Как видно из фиг. 2, наиболее существенные изменения приведенных величин имеют место в диапазоне $Re < 1$. В зависимости $V_w(Re)$ наблюдается слабо выраженный минимум при $Re = 6$. Давление внешней среды в расчетах, представленных на всех фигурах, равнялось 10^3 Па. В этом случае реализовался сверхкритический режим истечения. При увеличении p_e^* на порядок реализуется докритический режим истечения во всем рассматриваемом диапазоне чисел Re . При этом наиболее заметно изменяется температура T_w (и соответственно давление в канале), возрастающая от 0,5809 до 0,5936 при $Re = 0,1$ и от 0,5655 до 0,5907 при $Re = 10$. Незначительно возрастает T_e и уменьшается V_w .

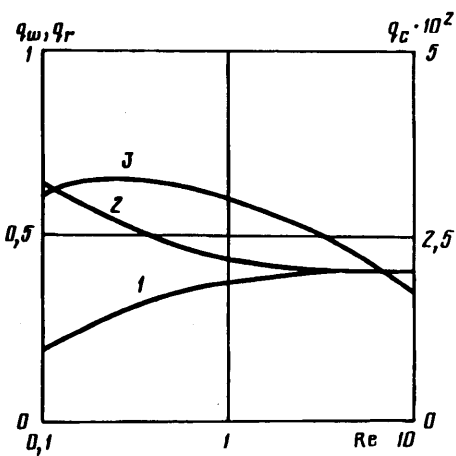
На фиг. 3 изображены зависимости от Re радиационного потока $q_r = \varepsilon(T_e^4 - T_w^4)$ (кривая 1), суммарного потока энергии q_w , затрачиваемого на испарение хладагента и равного $r(T_w) V(T_w)$ (кривая 2), и разности потока тепла q_e , поступающего в канал, и q_w (кривая 3). Эта разность потоков, как следует из уравнения энергии (1.3), определяется выражением

$$q_c \equiv q_e - q_w = \left(\int_0^1 U dy - V_w T_w \right) \text{Ко}^{-1}$$

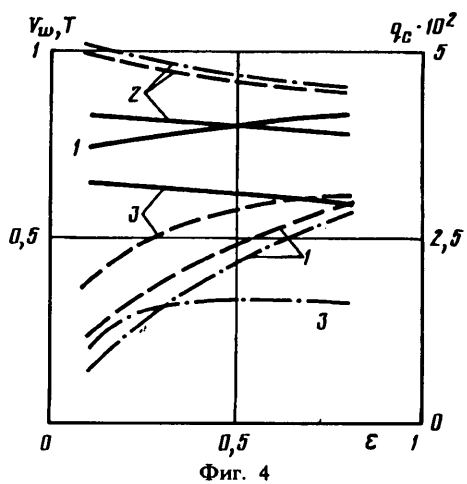
Результаты, представленные на фиг. 3, показывают, что при $Re < 1$ в суммарном количестве энергии, затрачиваемой на испарение, значительную долю



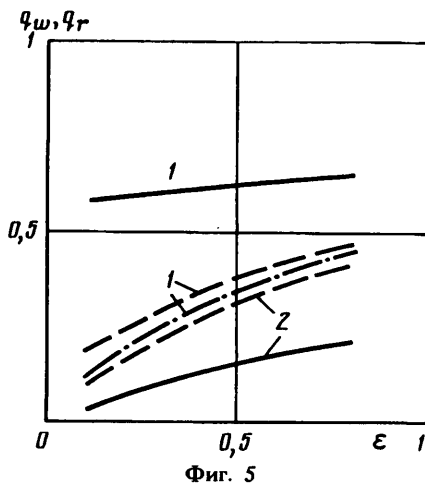
Фиг. 2



Фиг. 3



Фиг. 4



Фиг. 5

составляет поток тепла, обусловленный теплопроводностью газовой среды, а при $Re > 4$ эта часть теплового потока весьма незначительна. Кроме этого, не весь тепловой поток, поступающий в канал системы теплозащиты, затрачивается на испарение хладагента, причем значения q_c достигают 6% от q_w .

Отметим, что тепловой поток, сбрасываемый излучением экрана наружу, равен $1 - q_w - q_c$.

Результаты, представленные на фиг. 2, 3, получены при $\epsilon = 0,667$ ($\epsilon_w = \epsilon_e = 0,8$).

На фиг. 4 и 5 показано влияние приведенного коэффициента поглощения ϵ на основные характеристики рассматриваемой системы теплозащиты. Величина ϵ может варьироваться за счет, например, применения покрытий с низким коэффициентом поглощения на внутренней поверхности экрана.

Зависимости, представленные на фиг. 4, 5 сплошными кривыми, соответствуют числу $Re = 0,1$, пунктирными — $Re = 1$, штрихпунктирными — $Re = 10$.

На фиг. 4 цифрой 1 отмечены графики V_w , 2 — T_e , 3 — q_c . Температура поверхности испарения, не представленная на графике, возрастает при увеличении ϵ в диапазоне (0,1—0,8): от 0,5779 до 0,5814 при $Re = 0,1$ и от 0,5278 до 0,5684 при $Re = 10$. Температура экрана, как видно из фиг. 4, наоборот, снижается. Уменьшение коэффициента поглощения приводит к заметному уменьшению скорости испарения, особенно при больших значениях числа Re , когда мал вклад

кондуктивной составляющей теплового потока. Отметим, что при уменьшении ϵ минимум в зависимости $V_w(Re)$ смещается в сторону увеличения Re .

Характер поведения разности тепловых потоков q_c при изменении ϵ зависит от значения числа Рейнольдса: при $Re = 0,1$ q_c уменьшается с ростом ϵ , при $Re = 1$ — возрастает, при $Re = 10$ — возрастает, достигая слабо выраженного максимума, а затем уменьшается.

На фиг. 5 представлены зависимости тепловых потоков q_w (кривые 1) и q_r (2). Как и следовало ожидать, величина q_w уменьшается при уменьшении ϵ . Особенно этот эффект значителен при больших числах Re .

Величина P'' уменьшается при увеличении ϵ . Эта зависимость P'' от ϵ незначительна при малых значениях Re , например при $Re = 0,1$ изменение ϵ от 0,1 до 0,8 ведет к уменьшению P'' от $-43,85$ до $-46,78$, а при $Re = 1$ P'' уменьшается от $-1,722$ до $-4,220$. При $Re = 10$ величина P'' примерно пропорциональна ϵ , изменяясь от $-0,1178$ до $-0,8743$.

Расчеты, проведенные при значении параметра $\delta^*/L^* = 10^{-5}$, показывают, что уменьшение площади дренажного отверстия на порядок приводит прежде всего к повышению температуры T_w и соответственно к возрастанию давления p_0 в 8,6 раза при $Re = 0,1$ и в 9,2 раза при $Re = 10$. Незначительно возрастает и температура экрана T_e . Тепловой поток q_w уменьшается примерно на 10% при $Re = 0,1$ и на 7% при $Re > 1$. Однако вследствие уменьшения удельной теплоты испарения, обусловленного возрастанием T_w , скорость испарения уменьшается только на 7% при $Re = 0,1$ и 3—2% при $Re > 1$.

СПИСОК ЛИТЕРАТУРЫ

1. Ерошенко В. М., Зайчик Л. И. Гидродинамика и тепломассообмен на проницаемых поверхностях. М.: Наука, 1984. 274 с.
2. Tamonis M., Zukauskas A. Radiation and combined heat transfer in channels. Washington e. a.: Hemisphere Publ. Corp., 1987. P. 239.
3. Кришер О. Научные основы техники сушки. М.: Изд-во иностр. лит., 1961. 539 с.
4. Bridges J. H., Richmond F. D. Design considerations for a re-entry vehicle thermal protection system//Technol. Lunar Explorat. N. Y.; L: Acad. Press, 1963. P. 761—782.
5. Williams J. C. Viscous compressible and incompressible flow in slender channels//AIAA Journal. 1963. V. 1. № 1. P. 186—195.
6. Van Oojen H., Hoogendoorn C. J. Vapor flow calculations in a flat-plate heat pipe//AIAA Journal. 1979. V. 17. № 11. P. 1251—1259.
7. Абрамович Г. Н. Прикладная газовая динамика. М.: Наука, 1969. 824 с.
8. Бай Шии. Динамика излучающего газа. М.: Мир, 1968. 323 с.
9. Таблицы физических величин: Справочник/Под ред. И. К. Кикоина. М.: Атомиздат, 1976. 1006 с.
10. Красников В. В. Кондуктивная сушка. М.: Энергия, 1973. 288 с.
11. Денисенко О. В., Провоторов В. П. Исследование течений вязкого газа при умеренных числах Рейнольдса//Тр. ЦАГИ. 1985. Вып. 2269. С. 111—127.

Москва

Поступила в редакцию
17.VI.1991